T2R2 東京工業大学リサーチリポジトリ Tokyo Tech Research Repository

論文 / 著書情報 Article / Book Information

論題(和文)	圧縮力を受ける冷間成形リップ溝形断面部材の最大耐力と崩壊形式			
Title(English)	Maximum Resistance and Collapse Mode of Cold-Formed Lipped Steel Channel Members under Compression			
著者(和文)	大畑 朋也, 五十嵐規矩夫, 光廣 日向子, 三井 和也, 小橋 知季, 桑田 涼平			
Authors(English)	Ohata Tomoya, Kikuo Ikarashi, Hinako Mitsuhiro, Kazuya Mitsui, Tomoki Kobashi, Ryohei Kuwada			
出典(和文)	日本建築学会大会学術講演梗概集,,, pp. 733-734			
Citation(English)	Summaries of Technical Papers of Annual Meeting, Architectural Institute of Japan, , , pp. 733-734			
発行日 / Pub. date	2022, 7			
 権利情報	一般社団法人 日本建築学会			

圧縮力を受ける冷間成形リップ溝形断面部材の最大耐力と崩壊形式

正会員 和也*4 〇大畑 朋也*1 正会員 三井 知季*5 同 五十嵐規矩夫*2 同 小橋 同 涼平*5 光廣 日向子*3 同 桑田

薄板軽量形鋼載荷実験ゆがみ座屈初期不整最大耐力座屈モード

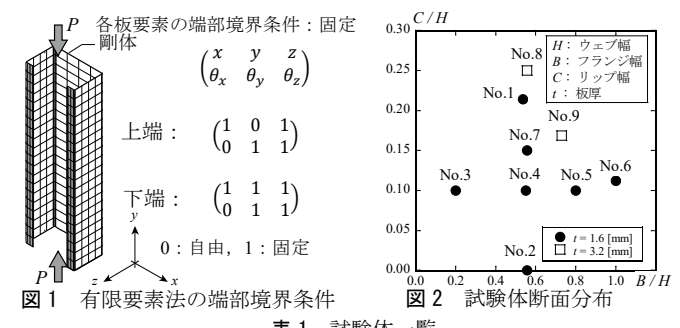
1.序

圧縮力を受ける冷間成形リップ溝形断面部材はゆがみ 座屈と呼ばれる独特な座屈形式をとる ¹⁾. そのゆがみ座屈 の大変形挙動について検討するため圧縮試験を行った. また図1のような有限要素法による数値解析を行う際は初 期不整の適切な導入が必要であり,短柱の場合は既往の 文献により検討されている ^{2),3)}. 本研究では長柱に対して も同様の検討を行い,より材長の長い部材にも適用可能 な初期不整導入方法を提案する.

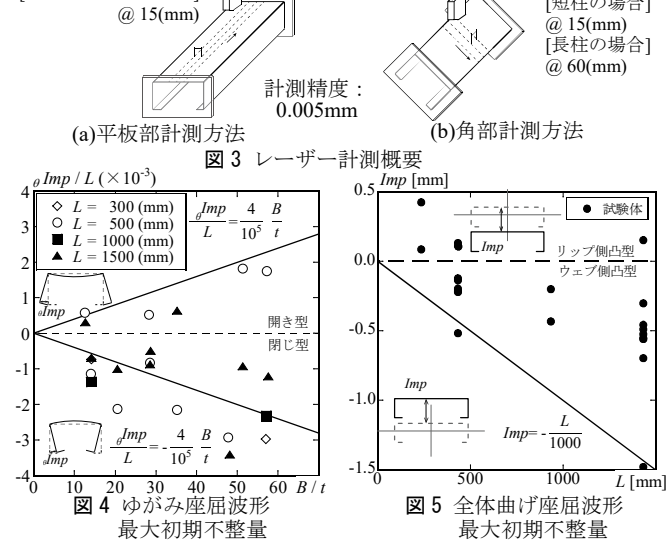
2. 冷間成形リップ溝形断面部材の初期不整形状

圧縮試験に用いた試験体一覧を表 1 に示す。試験体選定では図 2 に示すようにウェブ幅 H に対するフランジ幅 B の比率,ウェブ幅 H に対するリップ幅 C の比率,材長 L を変化させた.材長 L は座屈長 L_e =300~1500(mm)となる範囲を検討している.また表 1 にエネルギー法 4 から導出した両端固定支持の弾性局部座屈耐力 σ_{crLfix} および弾性ゆがみ座屈耐力 $\sigma_{crd,fix}$,全体曲げ座屈耐力 $\sigma_{crEuler}$,実験における最大耐力 σ_{max} と最大耐力時モードを示す.表 1 より,両端固定支持の弾性座屈耐力が最小となるモードと実験における最大耐力時のモードはおおむね一致しており,エネルギー法により座屈モードの予測が可能となっている.

圧縮試験に先行し、レーザー変位計を用いた形状計測 を行い,試験体の幾何学的初期不整を明らかにした. 図 3 に計測概要を示す. まず図4にゆがみ座屈波形の最大初期 不整量 @Imp(mm)の計測結果を示す. ここではウェブとフ ランジのなす角度が90度以上である場合を開き型,90度 未満である場合を閉じ型に分類しており、エンドプレー トを溶接した本試験体では閉じ型が多くなっている. ま た最大初期不整量は開き型、閉じ型共に図4中の式でおお むね評価できている. 次に図5に全体曲げ座屈波形の最大 初期不整量 Imp(mm)の計測結果を示す. ここではウェブ側 凸型,リップ側凸型に分類しており、本試験体ではウェ ブ側凸型の方が多くなっている. 最大初期不整量は慣用 的に用いられるL/1000により安全側に評価できている 5 . 以上をもとに初期不整導入方法を提案する. 初期不整は エネルギー法による弾性座屈耐力 4が最小となる座屈モー ドの初期不整が生じているものと仮定し, 各モードの最 大初期不整量はゆがみ座屈モードの場合図4の閉じ型の式, 全体曲げ座屈モードの場合図5中の式,局部座屈モードの 場合文献 2)に示された式から導出するものとする.



試験体名	断面形状	L_e	エネルギー法による 座屈耐力 (太字は最小値)			実験結果			
		(mm)	$\sigma_{cr.l.fix}$	$\sigma_{cr.d.fix}$	$\sigma_{cr.Euler}$	$\sigma_{ m max}$	最大耐力		
			(N/mm ²)	(N/mm ²)	(N/mm^2)	(N/mm^2)	時モード		
No.1-05	C-140×75×30×1.6	500	134	4575	6878	201	局部座屈		
No.1-15		1500	125	654	768	182			
No.2-05	[-80×44.5×1.6	500	388	175	1568	223	ゆがみ座屈		
No.2-15		1500	391	166	178	167	全体 (or ゆがみ) 座屈		
No.3-05	C-100×20×10×1.6	500	286	513	368	148	局部座屈		
No.3-15		1500	277	410	41	33	全体座屈		
No.4-05	C-100×55×10×1.6	500	254	453	3039	227	局部座屈		
No.4-15		1500	245	305	333	212			
No.5-05	C-100×80×10×1.6	500	227	306	6257	188	(局部・)ゆがみ連成座屈		
No.5-15		1500	222	175	700	158	ゆがみ座屈		
No.6-03	C-89×89×10×1.6	300	265	815	21287	227	局部(・ゆがみ)連成座屈		
No.6-05		500	241	304	7688	176			
No.6-10		1000	235	186	1930	152	ゆがみ座屈		
No.6-15		1500	232	139	844	146			
No.7-05	C-80×44.5×12×1.6	500	396	835	2125	268	局部座屈		
No.7-15		1500	392	551	234	170	全体座屈		
No.8-03	C-80×44.5×20×3.2	300	1690	6624	5753	322	局部座屈		
No.8-05		500	1600	2839	2072	265			
No.8-10		1000	1568	2192	520	203	全体座屈		
No.8-15		1500	1603	1947	232	145			
No.9-05	C-89×65×15×3.2	500	1207	1144	3972	269	ゆがみ座屈		
No.9-15		1500	1166	784	440	194	全体座屈		



3. 冷間成形リップ溝形断面部材の圧縮性状

[短柱の場合のみ測定]

図6に圧縮試験概要,図7に圧縮試験における端部概要,表2に鋼材の機械的性質を示す.実験ではナイフエッジに

Maximum Resistance and Collapse Mode of Cold-Formed Lipped Steel Channel Members under Compression Ohata Tomoya, Kikuo Ikarashi, Hinako Mitsuhiro Kazuya Mitsui, Tomoki Kobashi, Ryohei Kuwada

[短柱の場合]

より弱軸まわりの回転を許容するものの、試験体端部に エンドプレートを溶接していることから, 各板要素の端 部境界条件は固定支持である. 載荷に際し, 偏心が生じ ないようにひずみゲージの値から試験体位置を調整した.

図8に L_e =500(mm)の場合の応力度-変位関係を、図10に L_e =1500(mm)の場合の応力度-変位関係の例を示す. 図 9 の 最終変形写真より No.1-05 は局部座屈が発生し、No.6-05 はゆがみ座屈が発生している. また図 10(a)では図 2 の横 軸である B/H を変化させた No.3, No.4, No.5, No.6 の結 果を,図 10(b)では図 2 の縦軸である C/H を変化させた No.1, No.2, No.4, No.7 の結果を示している. 図 10(a)に おいて、No.4-15 より B/H が小さい No.3-15, No.4-15 より B/H が大きい No.5-15, No.6-15 は No.4-15 より最大耐力が 小さい. これは B/H が小さく全体曲げ座屈が生じた No.3-15 や B/H が大きくゆがみ座屈が生じた No.5-15 より, 局部 座屈が生じた No.4-15 の方が最大耐力が大きくなる傾向を 示している. また図 10(b)でも C/H が 0 となる No.2-15 よ りも C/H が大きい No.1-15, No.4-15, No.7-15 の方が最大 耐力が大きい傾向が見られた. これはC/Hが小さい場合ゆ がみ座屈が発生するためである. 図 11 に No.5-15, No.7-15 の最終変形写真を示している.

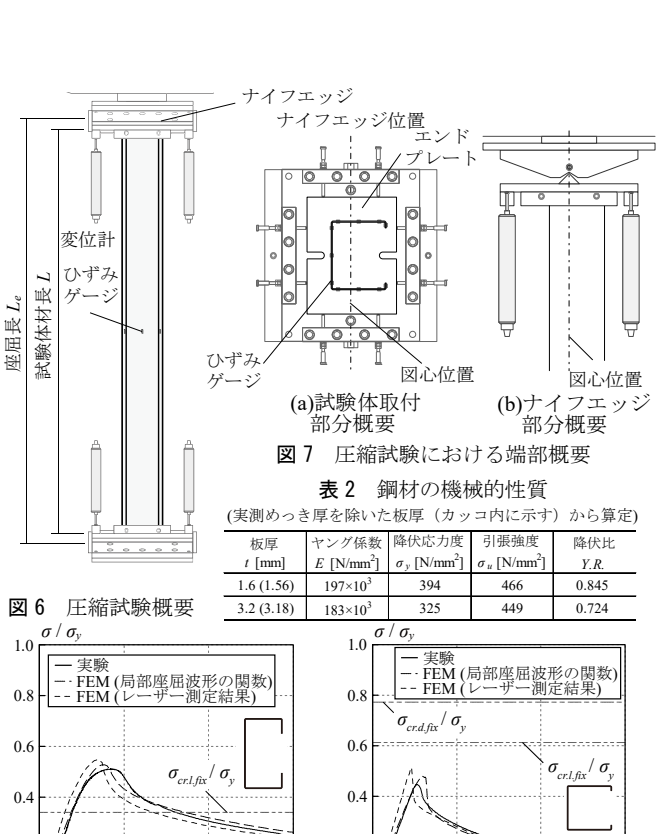
図8には短柱の実験結果とともに大変形解析結果を示す. 大変形解析では、実験におけるピンの位置で図1に示す端 部境界条件とし,初期不整導入方法は前節で提示した初 期不整導入方法またはレーザー変位計による計測結果を 用いている. 図9には初期不整導入方法が最大耐力時モー ドに及ぼす影響を示す. 図 9(b)では初期不整導入方法によ り,最大耐力時に発生するモードが異なっているものの, 図8より最大耐力についてはいずれの試験体も実験結果と 初期不整形状が異なる大変形解析結果がおおむね一致し ている. これより最大耐力を検討する際は前節で提示し た初期不整導入方法でも問題ないことが示せた.

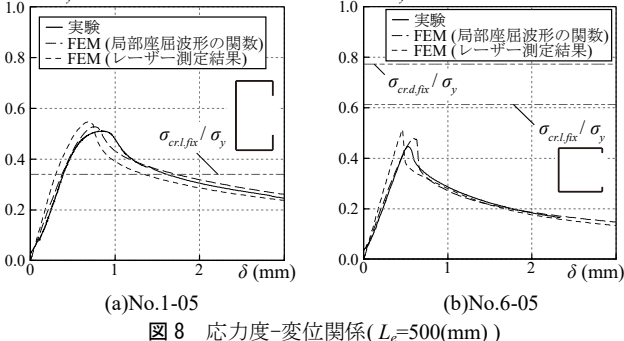
4. 結

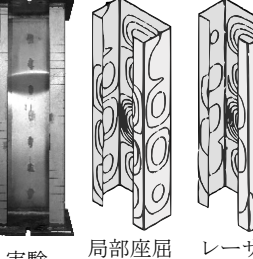
冷間成形リップ溝形断面部材の圧縮試験により断面形 状や材長が座屈性状や最大耐力に及ぼす影響を明らかに した. またレーザー変位計による初期不整計測結果から 数値解析を行う際の適切な初期不整導入方法を示した.

本研究は JSPS 科研費 JP20H02294 を受けて行ったものであります.

- 1) 一般社団法人日本鉄鋼連盟「薄板軽量形鋼造建築物設計の手引き」編集委員会:薄板軽
- 量形調造建築物設計の手引き,2014.3 2)三井和也,渡辺茜,小橋知季,五十嵐規矩夫:圧縮力が作用する冷間成形リップ付溝形断面部材の数値解析結果に幾何学的初期不整が及ぼす影響,日本建築学会構造系論文集,第
- 86 巻、第779 号、pp.157-167, 2021.1 3)渡辺茜,五十嵐規矩夫,三井和也,小橋知季:圧縮力を受けるリップ溝形断面部材の座屈性状に及ぼす幾何学的初期不整の影響,日本建築学会大会学術講演梗概集,pp.797-798,
- 4)光廣日向子, 五十嵐規矩夫, 三井和也, 小橋知季, 桑田涼平: 圧縮力を受ける冷間成形リ ップ溝形断面部材の弾性座屈耐力に及ぼす端部境界条件の影響,日本建築学会大会学術講 溶挿概集 2022 Q
- 5)EN 1993-1-1. Eurocode 3:design of steel structures part 1-1: General rules and rules for buildings. Brussels: European Committee for Standardization, 2005
- *1 東京工業大学 環境・社会理工学院建築学系 修士課程 環境・社会理工学院建築学系 *2 東京工業大学 教授・博士 (工学)
- *3 元 東京工業大学 環境・社会理工学院建築学系 修士課程
- 環境・社会理工学院建築学系 助教・博士 (工学) *4 東京工業大学
- *5 日本製鉄株式会社







(a) No.1-05

実験

波形の関数 計測結果



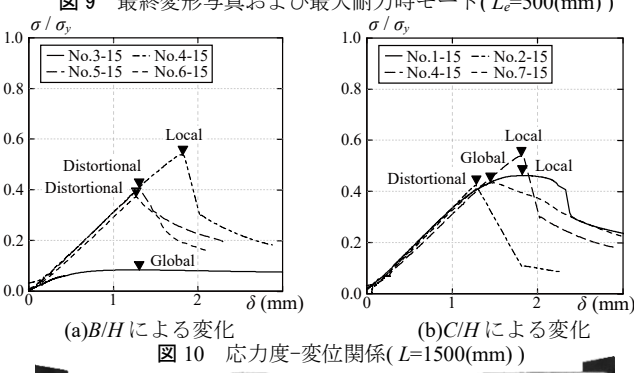
実験





波形の関数 計測結果 (b) No.6-05

図 9 最終変形写真および最大耐力時モード(L_e =500(mm))



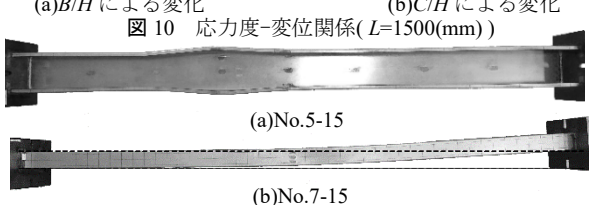


図 11 最終変形写真(L=1500(mm))

- *1 Graduate Student of Arch. and Build. Eng., Tokyo Institute of Technology
- *2 Prof., Dept. of Arch. and Build. Eng., Tokyo Institute of Technology, Dr. Eng.
- *3 Graduate Student of Arch. and Build. Eng., Tokyo Institute of Technology, M. Eng.
- *4 Assist. Prof., Dept. of Arch. and Build. Eng., Tokyo Institute of Technology, Dr. Eng.
- *5 NIPPON STEEL CORPORATION